

港湾技研資料

TECHNICAL NOTE OF
THE PORT AND HARBOUR RESEARCH INSTITUTE
MINISTRY OF TRANSPORT, JAPAN

No. 420 June. 1982

ポンプ浚渫船のカッタによる濁りの模型実験（その2）

白鳥保夫
増田勝人
加藤英夫
山内栄

運輸省港湾技術研究所



	目 次
要 旨	3
1. まえがき	3
2. 模型の速度縮尺の選定	4
3. 供試土砂の性状	4
4. 実験装置と実験方法	5
4.1 実験装置	5
4.2 実験方法	5
4.3 実験パラメータ	5
5. 計測項目	6
5.1 涡度と懸濁物質量の関係	6
5.2 含泥率の測定	6
6. 実験結果と考察	7
6.1 涡りの状況	7
6.2 流済能力	9
6.3 涡りの発生量と運転条件	11
6.4 実機での渦りの発生量の試算	18
7. 結論	19
8. あとがき	20
参考文献	20
主要記号表	20
付録	21

Model Experiment on Turbidity Caused by Pump Dredging (Part-2)

Yasuo SHIRATORI*
Katsuto MASUDA**
Hideo KATO**
Sakae YAMAUCHI**

Synopsis

Authors carried out model experiments on turbidity caused by pump dredging to investigate the relationships between turbidity and operating conditions. The model bottom material consists of flyash and bentnite. The scale ratio of the operating conditions is 1.

Turbidity is mainly caused by the contact of the cutter head with the bed. Owing to the dredging mechanism, SS concentration at the right side of the cutter head is greater than that at the other side regardless of the swing direction. And turbidity is mainly generated in the right swing operation. The amount of turbidity depends greatly on the peripheral velocity of the cutter and does not depend on the swing velocity.

The cutting depth, that is one of the operating conditions, is also an influential factor on turbidity. When it is less than a half of cutter diameter the amount of turbidity is greater than those in other cases.

The influence of operating conditions on turbidity can be expressed by the following equation according to the dimension analysis.

$$W_0 = \frac{C}{X_a} \phi^{\beta} F_r^{(\beta/2+r)} \left(\frac{V}{V_p} \right)^r \left(\frac{l_s}{D} \right)^{2r}$$

where, ϕ is non-dimensional number for the similarity of cutter's trace, V/V_p is that for transfer of turbidity and l_s/D is that of the contact length of the cutter with the bed. In this experiment, β, r equal to 2.12, 2.06 respectively.

The converting formula of turbidity proposed by authors gives reasonable value compared with empirical field data.

* Chief of the Sludge Treatment Laboratory, Machinery Division

** Member of the Sludge Treatment Laboratory, Machinery Division

ポンプ浚渫船のカッタによる渦りの模型実験（その2）

白鳥保夫*
増田勝人**
加藤英夫**
山内栄**

要　　旨

縮尺1/10のポンプ浚渫船の模型を用いて実験を行い、渦りの発生に与える運転条件の影響について検討した。

供試土砂は、フライアッシュとベントナイトから成る模擬汚泥であり、運転条件等の速度の縮尺は1/1とした。

渦りの発生は、カッタによる供試ベッドの攪乱によるものが主であり、カッタが右回転である機構上カッタの右側面で多くの渦りを発生し、また右スイング時に多くの渦りを発生させた。

渦りの発生量に与える運転条件の影響は、カッタ周速度、潮流によるものが強く、スイング速度による影響は、比較的に小さかった。また、土厚の変化はカッタと土面との接触面の長さに直接関係するため、渦りの発生に大きな影響を与えていた。特に、土厚がカッタ直径の1/2以下の薄い土厚では、渦りの発生量は多くなる。

渦りの発生量を運転条件などの各パラメータの積の形で表すことにし、これを次元解析の手法により求めた結果、次の無次元数からなる関係式が得られた。

$$W_0 = \frac{C'}{X_a} \phi^\beta F_r^{(\beta/2+\gamma)} \cdot \left(\frac{V}{V_p} \right)^\gamma \cdot \left(\frac{l_s}{D} \right)^{\gamma}$$

F_r は、フルード数で、 ϕ はカッタの軌跡の相似性、 V/V_p は渦りの移送に、そして l_s/D は接触面の大きさに関する無次元数である。本実験では、 $\beta = 2.12$ 、 $\gamma = 2.06$ であった。また、この換算式を用いて実機による渦りの発生量を推算した結果、経験的な現地データと比べてほぼ妥当な値が得られた。

1. ま　え　が　き

へどろなどの汚泥の浚渫埋立工事では、環境保全の立場から規制値が設けられ汚濁防止策を講ずることが要請されている。浚渫による渦りの発生機構の解明および発生量の把握は、この水質汚濁防止上重要であり、渦りの発生が少ない浚渫機および工法を開発する上で基本となるものである。

浚渫による渦りの発生原因としては、浚渫工法や運転条件、周辺海域の状況および浚渫土砂による要因が上げ

られ、これらの要因が絡み合って渦りの現象を複雑にしている。

前報¹⁾の実験は、スイング速度やカッタ周速度等の速度の縮尺を水平縮尺と等しくした模型とそれらの縮尺を水平縮尺の平方根と等しくした模型の2種類について行い、渦りの発生量と運転条件の関係および模型実験の手法について検討した。

浚渫機構上ポンプ浚渫船による渦りは、カッタによる海底土の攪乱によるもので、特に右スイング時の刃先との接触が主因であることがわかった。また、発生量に影

* 機材部 汚泥処理研究室長

** 機材部 汚泥処理研究室

響する運転条件として、 $|V_c - V_s|$ や ϕ ($= V_c/V_s$) のパラメータを選んでいる。前者は、カッタ刃先の対水速度、後者は、カッタと土面との接触回数を意味し、ともに発生量に関連づけられた。

しかしながら、ポンプ吸込力の関係など浚渫状況の模型化が不十分であり、実機への適用に当たって問題があった。

本研究では、ひき続きポンプ浚渫船に着目し、実機に近い状態について考えてスイング速度やカッタ周速度等の速度の縮尺が現尺である模型について実験を行って渦りの発生量と運転条件の関係について検討を進めた。

2. 模型の速度縮尺の選定

原型と模型の間に力学的相似を成立させることは、模型実験で必要とされる要件である。

しかし、渦りの発生量と運転条件との関係は複雑であり模型実験の相似則については未解明の点もある。ここでは、前報¹⁾の継続としてスイング速度やカッタ周速度等の速度の縮尺を1とした模型を選定した。これを模型Ⅲとする。

カッタ刃先の描くトロコイド曲線を構成する直径比Kは、(2.1)式で表される。

$$K = \frac{d}{D} = \frac{V_s}{V_c} \equiv \frac{1}{\phi} \quad (2.1)$$

ここに、D：カッタ刃先円直径、d：ころがり円直径、 V_s ：スイング速度、 V_c ：カッタ周速度、 ϕ ：パラメータ。

カッタの描く軌跡の相似条件は $K_r = 1$ であり、前報の模型Ⅰ、Ⅱと同様に模型Ⅲもこの条件を必要とするが、これは、(2.1)式と運転条件の設定より明らかである。

次に、原型と模型の関係を(2.2)式のようにおく。

$$l_r = \frac{x_R}{x_M} = \frac{y_R}{y_M}, \quad h_r = \frac{h_R}{h_M}, \quad D_r = \frac{D_R}{D_M}, \quad V_r = \frac{V_R}{V_M} \quad (2.2)$$

x, y ：水平座標、 h ：水深、 V ：潮流である。また、添字R、Mはそれぞれ原型、模型を表し、rは縮尺を意味する。

浚渫ポンプの吸込流量の縮尺 Q_r は、管内の含泥率と同じとすると、掘削量の縮尺で与えられ、(2.3)式となる。

$$Q_r = b_r \cdot t_{sr} \cdot V_{sr} = D_r^2 \quad (2.3)$$

ここに、 b_r 、 t_{sr} はそれぞれカッタ幅、浚渫土厚の縮尺である。また、カッタと土面との接触長さ t_s の縮尺 t_{sr} は、(2.4)式で表される。

$$t_{sr} = D_r \quad (2.4)$$

模型実験では、 $t_r = D_r = 10$ の縮尺を使用した。表-2.1に縮尺の関連について、表-2.2に原型の諸元および実験範囲について示した。参考のため模型Ⅰ、Ⅱの値も併記している。

表-2.1 縮尺の関連

	水平座標 x, y	スイング速度 V_s	カッタ周速度 V_c	潮流 V	ポンプ流量 Q	ポンプ吸込流速 V_p	接觸面の長さ t_s
模型Ⅰ	l_r	D_r	D_r	D_r	D_r^3	D_r	D_r
模型Ⅱ	l_r	$D_r^{1/2}$	$D_r^{1/2}$	$D_r^{1/2}$	$D_r^{5/2}$	$D_r^{1/2}$	D_r
模型Ⅲ	l_r	1	1	1	D_r^2	1	D_r

表-2.2 原型と模型の諸元関係

	スイング幅 B (m)	水深 h (m)	スイング速度 V_s (m/min)	カッタ周速度 V_c (m/min)	潮流 V (m/min)	ポンプ流量 Q (m ³ /h)
原 型	11.0	4.0	6 ~ 10	60 ~ 120	6 ~ 18	4200
模型Ⅰ	1.1	0.4	0.6 ~ 1.0	60 ~ 120	0.6 ~ 1.8	4.2
模型Ⅱ	1.1	0.4	1.9 ~ 3.2	19.0 ~ 37.9	1.9 ~ 5.7	13.3
模型Ⅲ	1.1	0.4	3.2 ~ 5.3	32.0 ~ 63.0	3.2 ~ 9.5	22.4

3. 供試土砂の性状

浚渫土砂の粒度組成、含水比および比重などの汚泥の性状は、浚渫による渦りの発生量や拡散領域の範囲に影響を与える。

供試汚泥には、フライアッシュ(F)とペントナイト(B)の混合割合を重量比($B/(B+F)$)で1/8とした模擬汚泥で、含水比が60%で調整したものを用いた¹⁾。また、供試ベッドの圧密状態は、土のせん断強度で評価した。表層、下層とともに経過時間が10~100時間においてせん断強度がほぼ一定値を示し、ベッド作成時から実験終了時までの含水比の低下が小さく、供試ベッドとして良好な特性と言える。供試汚泥の真比重は、2.21、単位体積重量は、1.52 g/cm³、含水比60~70%である。図-3.1に粒径加積曲線を示す。

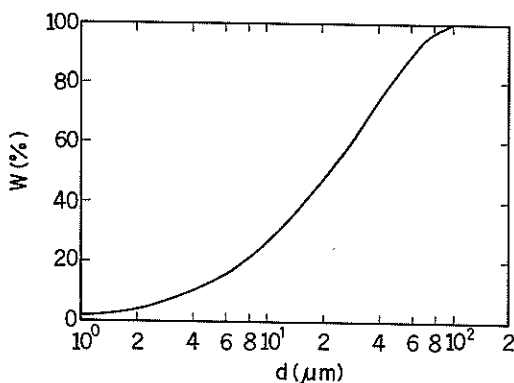


図-3.1 供試土砂の粒径加積曲線

4. 実験装置と実験方法

4.1 実験装置

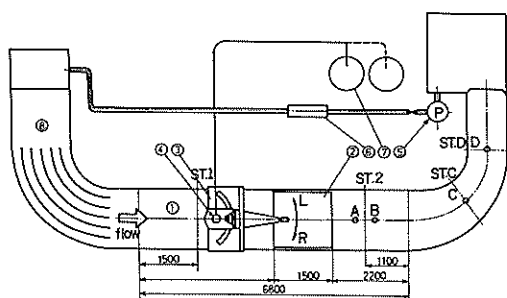


図-4.1 実験装置の概要

図-4.1に実験装置の概略を示す。装置は、試験水槽①、循環水槽②、浚渫装置③そして循環ポンプ⑤などで構成されている。試験水槽①は、全長6.8 m、幅1.5 m、深さ1.5 mの形状であり、供試ベッド②は、長さ1.5 m、幅1.4 m、深さ0.2 mである。カッタの形状は、クローズ型である。

以下に各装置の仕様を示す。

(1) 浚渫模型装置③

浚渫ポンプ: $0.5 \text{ m}^3/\text{min} \times 5 \text{ m} \times 2.2 \text{ kW}$

スイング幅: 1.1 m

スイング速度: 0 ~ 5.3 m/min

カッタ周速度: 0 ~ 87 m/min

カッタ形状: $180 \text{ mm} \phi \times 150 \text{ mm}$, クローズ型

ポンプロ径: 50 mm

(2) 循環ポンプ⑤

$4.2 \text{ m}^3/\text{min} \times 20 \text{ m} \times 11 \text{ kW} \times 1450 \text{ rpm}$

(3) 濁度計測器

吸光式透過率: 0 ~ 100 %, 三段切換

散乱光式濁度計: 0 ~ 1000 ppm, 四段切換

採水装置: 真空式

4.2 実験方法

浚渫は、1スイングのみの場合と連続8スイングの場合の二種類を合わせて1ケースとした。連続スイングの浚渫は、平面掘削であり、その際の前進距離は、100 mmである。

それぞれの浚渫の開始は、渦りのバックグラウンドが十分に小さく、安定した状態で行われた。渦りの検出はカッタ回り6点とA, B点各4点、C, D点およびバックグラウンド各1点の合計17点において濁度計もしくは採水によって行った。図-4.2に各点の配置を示す。

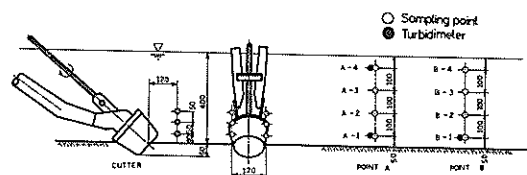


図-4.2 採水点、濁度測定点の配置

カッタ回りの採水は、1スイング浚渫時にはスイング中央で、そして連続スイング時では5スイングめの中央点を行った。前者は、左スイング時の採水で、後者は右スイング時の採水であり、スイング方向の違いによる渦りの比較に用いた。AおよびB, C, D点での採水は、渦りが到達したころ合いを見計らって適宜1回行った。

また、A1およびA4, B1点では散乱光濁度計で、C, D点では吸光式透過率計で渦りの連続測定をしている。

4.3 実験パラメータ

浚渫による渦りに影響を与える運転条件としてカッタ周速度、スイング速度および潮流をパラメータに選んだ。

実験は、カッタ周速度 V_c が $0 \sim 56 \text{ m}/\text{min}$ の4種類、スイング速度 V_s が $1.3 \sim 5.3 \text{ m}/\text{min}$ の3種類、潮流 V が $2.78 \sim 5.7 \text{ m}/\text{min}$ の2種類の計12ケースについて行った。さらに、浚渫土厚の影響を調べるためにカッタ直径の $1/3$, $1/2$, $2/3$ 土厚と変化させた実験を行った。

5. 計測項目

5.1 濁度と懸濁物質量の関係

濁りの測定では連続記録が不可欠な要素であるため散乱光式濁度計や吸光式透過率計を用いている。しかし、光の透過率や散乱率の変化を計測原理としている濁度計では水中の懸濁物質の粒径の大きさや色調によって透過率や散乱率が影響を受けるため、その指示値から濁度を求める場合に注意を要する。

懸濁物質濃度（以下、SSと呼称する）は、濁水の単位体積当たりの浮遊物質の質量で定義され、細粒子による濁りの表示に適していると考えられる。本実験における濁りの評価はすべてSS量に換算して行った。

図-5.1, 5.2は、供試土砂に用いた模擬汚泥を試料

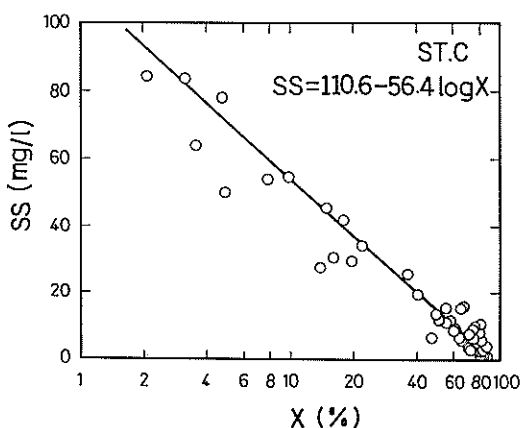


図-5.1(a) 透過率計の検量線(C 点)

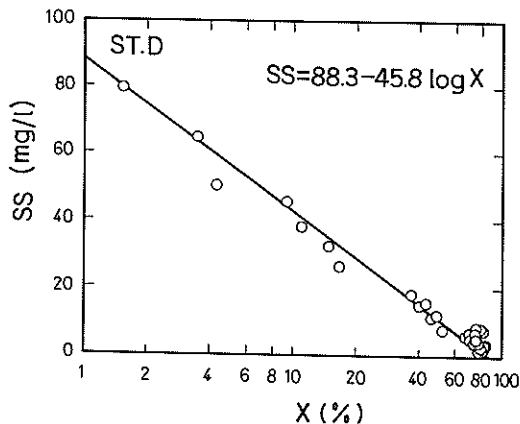


図-5.1(b) 透過率計の検量線(D 点)

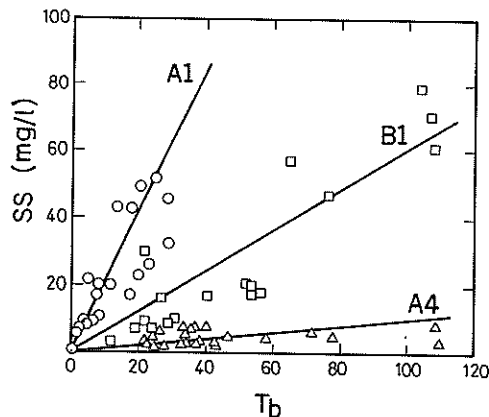


図-5.2 散乱光式濁度計の検量線

として作成した検量線である。濁度測定点に到達する粒子群の組成と供試土砂の粒度組成が異なるため各測定点で採水した試料を用いている。

吸光度は、SS量に反比例し、また散乱光式濁度計の指示値は、SS量に比例している。いずれの場合も強い相関が認められた。

5.2 含泥率の測定

含泥率の測定は、浚渫泥水のSS量の平均値から求めることとした。SS測定は、懸濁物質の粒径が2mm以下を対象としており2mm以上の成分が存在するときには補正をしなければならない。模擬汚泥は、前記の粒径加積曲線からもわかるように粒径が十分に小さく、その補正是不要ない。

SSと含水比の関係および含水比と真容含泥率、さらに、真容含泥率と見掛け含泥率の関係から管内の含泥率 X_a が求められる。それらの関係式を(5.1)式に示す。

$$\begin{aligned} w &= 100 (10^6 / S_D - 1 / G_s) \\ X_v &= 100 / (1 + G_s w / 100) \\ X_a &= (G_s - 1) \cdot X_v / (G_a - 1) \end{aligned} \quad (5.1)$$

ここに、 $G_{a,s}$ ：汚泥のみかけ、真の比重

S_D ：浚渫した濁水のSS量の平均値

$X_{a,v}$ ：みかけおよび真容含泥率

w ：含水比

ただし、堆積土砂の飽和度は100%としている。

6. 実験結果と考察

6.1 潜りの状況

(1) カッタ周辺の潜り

カッタ前方 12 cm の点において鉛直方向に左右それぞれ 3 点合計 6 点で採水を行った。図-6.1 にカッタ近傍の潜りの鉛直分布の 1 例を示す。また、付表-6.1 にその他のデータを示す。図中の SINGLE とは 1 スイング

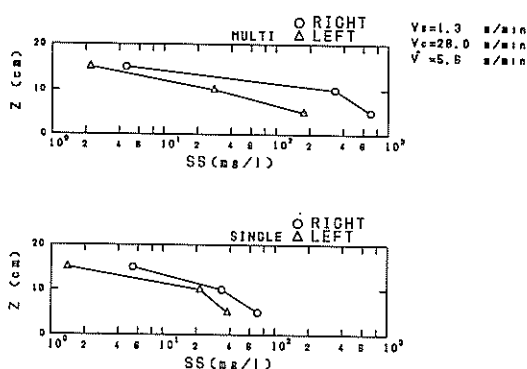


図-6.1(a) カッタ回りの潜りの鉛直分布

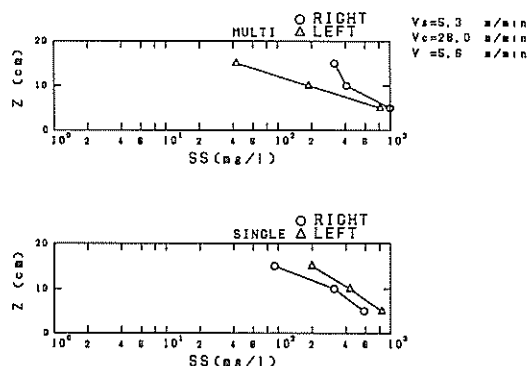


図-6.1(b) カッタ回りの潜りの鉛直分布

のみの凌歎であり左スイング時のものである。MULTI は、連続スイングによるもので右スイング時の値を意味する。

スイング方向による潜りの発生状況を見比べると SS 量は、総じて右スイング時に大きい。そして、カッタの側面の潜りは、スイングの方向に係わらず右側面で大きいケースがほとんどであった。これは、カッタが右回転であることによる。つまり、潜りの発生の主因である土

面とカッタの接触がいずれのスイングの場合にもカッタの右側面で生じているためである。

カッタ回りの採水点での SS の平均値 \bar{S}_c をカッタによって発生した潜りの代表値として、これに与える運転条件の影響について調べる。

図-6.2 にスイング速度の影響を示す。カッタに付着

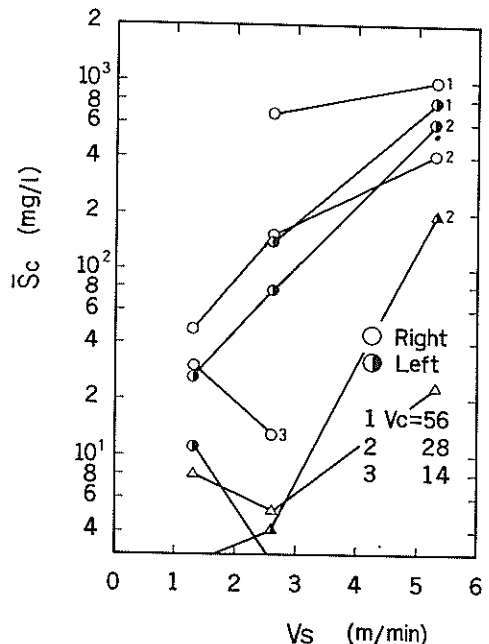


図-6.2(a) V_s とカッタ回りの潜り(左スイング)

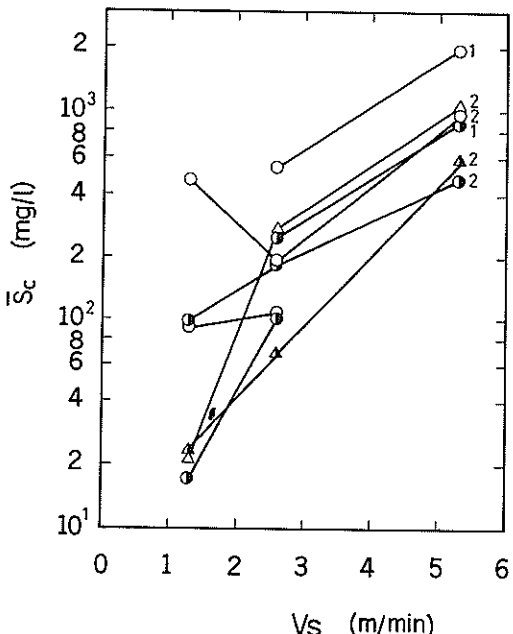


図-6.2(b) V_s とカッタ回りの潜り(右スイング)

した土粒子は、スイングによる流れを相対的に受けるため渦りの発生量はスイング速度の影響を受ける。左スイング時で一部分減少傾向が見られるが、左右のスイングに関係なく増加傾向にある。前報¹⁾の模型Ⅰのようにスイング速度の変化範囲が小さい場合 ($V_s = 0 \sim 1.2 \text{ m/min}$) には左スイングで低下傾向にあった。

図-6.3は、カッタ周速度 V_c による \bar{S}_c の変化を示して

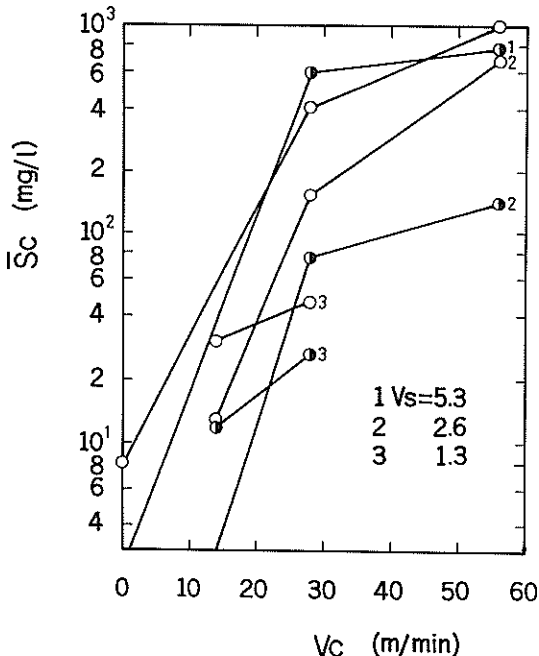


図-6.3(a) V_c とカッタ回りの渦り(左スイング)

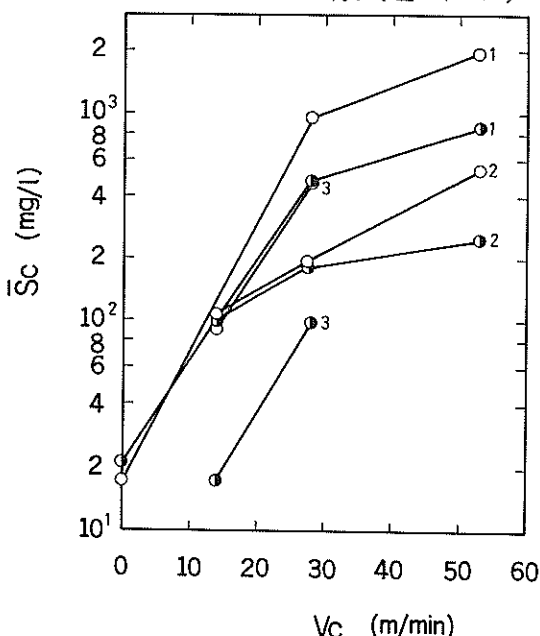


図-6.3(b) V_c とカッタ回りの渦り(右スイング)

いる。図-6.2と同様にスイング方向に係わらず、 V_c の増加によって \bar{S}_c は増大している。しかし、その増加傾向は V_c が 30 m/min 以上では、にぶるようである。

土粒子を付着したカッタが上面にある区間のカッタ刃先の代表速度を左右スイング時で、それぞれ $V_c - V_s$ 、 $V_c + V_s$ として \bar{S}_c を整理したのが図-6.4である。この代表速度は、左スイングの V_s を正の値とした時のカッタ

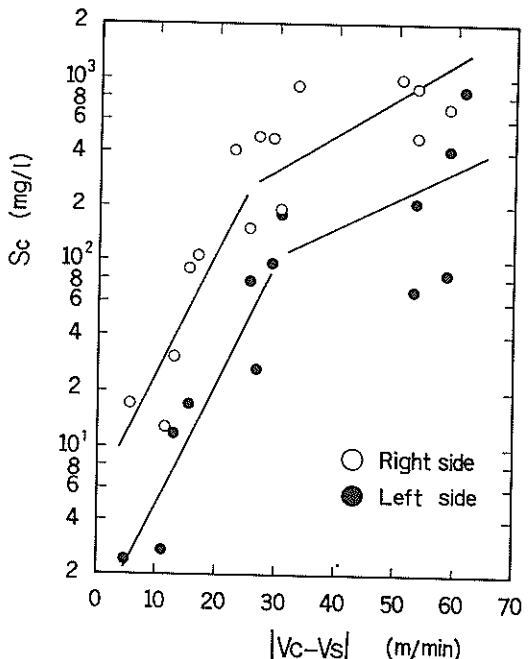


図-6.4 対水速度と \bar{S}_c の関係

刃先が最上面でもつ対水速度 $|V_c - V_s|$ にあたる。

\bar{S}_c は、対水速度の増加に伴って増大する。しかも、このパラメータで整理するとスイング方向に係わらず直線で近似できた。そして、カッタの左右側面での渦りの差が明らかになり、右側面での渦りが高いことがわかる。

また、 \bar{S}_c と対水速度 $|V_c - V_s|$ の増加傾向は、二段に分けることができ、 $|V_c - V_s|$ が 30 m/min 以上では、増加傾向が小さくなっている。

(2) 周辺の渦り

図-6.5 に水槽中央部における A, B 点の渦りの鉛直分布の 1 例を示す。他のデータは付表-6.2 に示す。水深の減少とともに渦りは、指數関数的に減少している。そして、その鉛直分布は片対数分布で近似できた。

付図-6.2, 6.3 に A, B 点および C, D 点における渦りの経時変化の 1 例を示す。なお、これらで示されている SS 量は、すべて 5.1 で求めた検量線によって換算した値である。

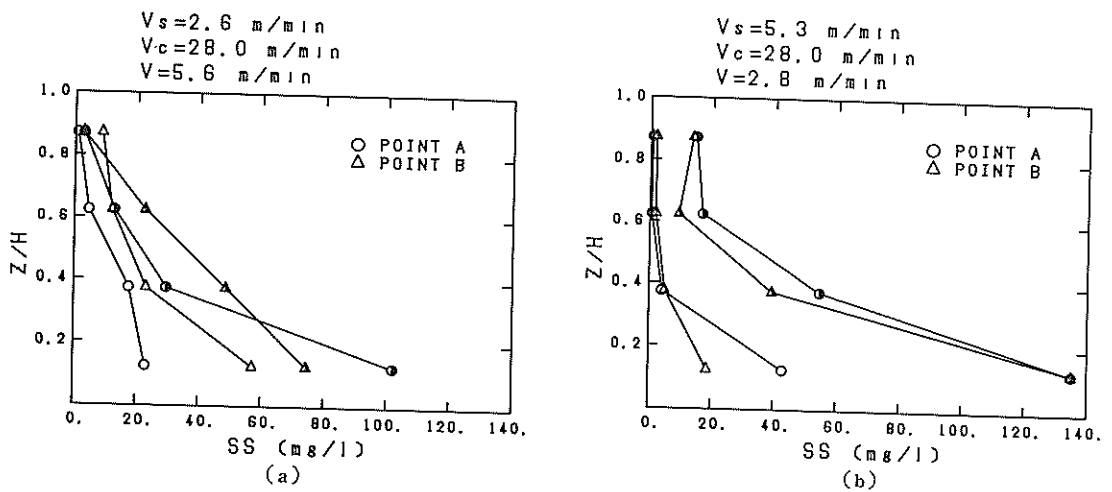


図-6.5 涡りの鉛直分布(A, B点)

6.2 浸漬能力

(1) 含泥率と運転条件

含泥率の測定は、ポンプ泥水のSS測定値から求める以外に掘り跡断面とポンプ流量の関係からも求めることができる。図-6.6は、上記の2種類の方法で求めた含

ている。ほぼ正比例の関係でスイング方向による差異はない。一般には左スイングの場合に含泥率が高く、浸漬能力が良いと言われている。しかし、今回の実験のように軟泥の浸漬ではカッタの掘削効果が小さく、含泥率に明らかな差が生じなかったと考えられる。

浸漬能力である浸漬土量（もしくは管内含泥率）は、浸漬土厚およびスイング速度の影響を受ける。これらの積 $t_s'V_s$ をパラメータとして含泥率の変化を図-6.8に示す。 t_s' は、切込み形状を考え $2t_s/D$ とした無次元土厚である。また、SINGLEスイングとMULTIスイングでは、掘削形状から負荷状態が異なるので、ここではMULTIスイングについて示し、含泥率は左右スイング時の平均値を用いた。

含泥率は、能力パラメータ $t_s'V_s$ に比例して増加する

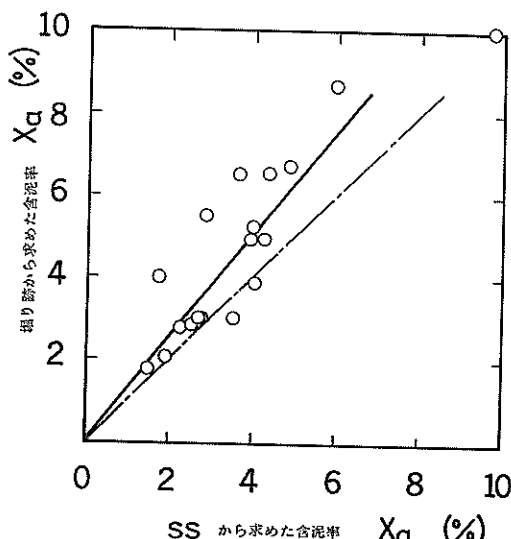


図-6.6 SS および掘り跡から求めた含泥率の相関

泥率の関係を示している。わずかながら掘り跡から求めた値が大きいが、左右の寄切り時に排斥される土量や最終スイングによって前方に排斥される土量を考慮すると、ほぼ正比例の関係にあると言えるが、以後SS量から求めた含泥率を用いる。

図-6.7では、左右スイング時の含泥率の相関を示し

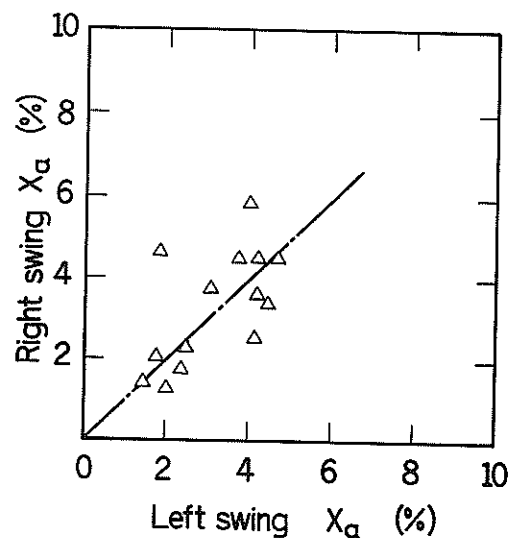


図-6.7 スイング方向による含泥率の違い

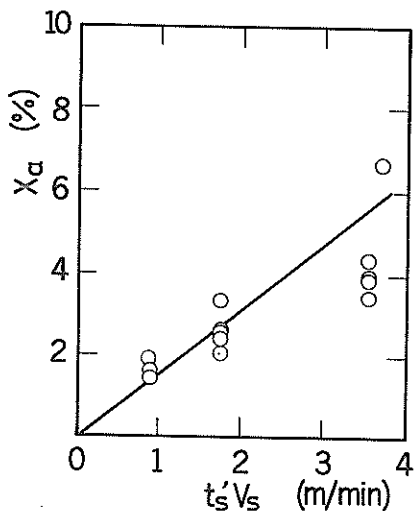


図-6.8 能力パラメータと含泥率

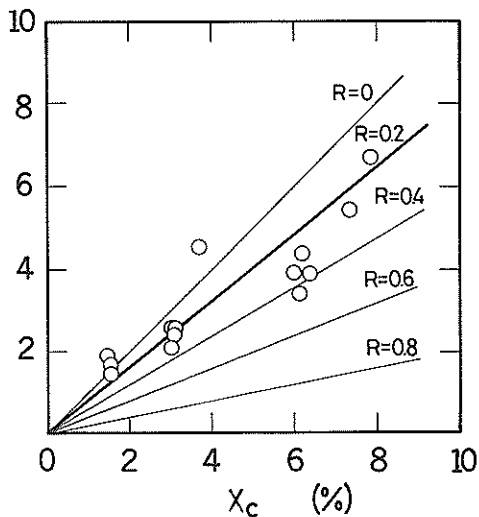


図-6.9 X_a と X_c の関係

が、能力パラメータの大きな領域では比例関係がくずれてくる。また、図-6.8 に関連することであるが、含泥率に与えるカッタの周速度の影響は弱かった。カッタの回転は土砂の切り崩しが目的であるため、軟泥を供試土砂とする場合わずかな回転で十分である。それ以上のカッタの回転による含泥率の上昇はあまり期待できない。

カッタがスイングによって排土される容量が、すべてポンプによって吸込まれたとすると、管内の換算含泥率 X_c は(6.1)式で定義される。

$$X_c = \frac{A_e V_s}{Q_m} \quad (6.1)$$

ここに、
 A_e : 排土断面積
 Q_m : ポンプ流量

(m^2)
 (m^3/min)

機械的にカッタが取扱う土量を表す含泥率 X_c のうち実際に浚渫された土量を表す含泥率 X_a がどの程度の割合を占めるかが濁りの発生量にかかわってくる。その値は、有効吸込率で定義され、また逆の関係で残土率 R が(6.2)式で定義される。

$$R = 1 - \frac{X_a}{X_c} \quad (6.2)$$

実験範囲では、含泥率の増加による流量の低下が少ないため(6.1)式より X_c は、能力パラメータ $t'_s V_s$ に比例する。したがって、図-6.8 の能力パラメータは換算

含泥率で置き換えられる。

これを図-6.9 に示す。 $X_a = X_c$ の直線を境にして右領域では残土率が正の値をとり掘り残しのある状態である。

左領域は、残土率が負ということになる。また、両者の関係が直線で表されるならば、残土率は一定である。

実際の浚渫では $t'_s V_s$ が大きい領域で山成りの曲線となり、能力パラメータが増加すると残土率は漸次増加することになる。

(2) 掘り跡形状

掘り跡の滑らかさは、カッタ刃が土面を掘削する回数に依存する。幅 B を浚渫するときにカッタの掘削数 N は(6.3)式で表される。

$$N = \frac{B Z \phi}{\pi D} \quad (6.3)$$

ここで、
 Z : カッタの刃数、
 $\phi = V_c / V_s$ である。

図-6.10 に掘削断面の形状を示す。 ϕ が大きい場

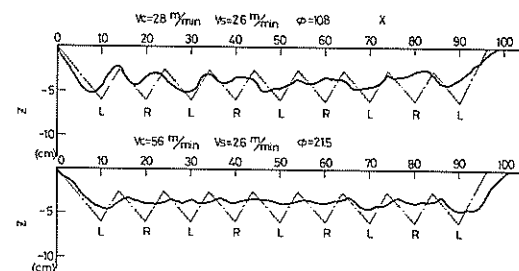


図-6.10 掘り跡の形状

合の断面は、スイング方向の違いによる深さの変化は少なく滑らかな形状となる。 ϕ が小さく掘削数が少ない場合には掘削断面は凹凸が大きくなり、不規則な形状となる。

また、極端に小さく $\phi = 0$ の場合は、切り込み形状である三角形が顕著に現れ図-6.10の破線に近い状態の形状となる。

スイングごとの掘り跡を比較すると、左スイングの掘り跡(図中L)が右スイングのものに比べて深くなっている。左スイングでは、カッタで切り取られた土砂のうち浚渫しきれない土砂は、進行方向に堆積し次の刃の掘削土砂に付加される。したがって、掘り跡は切り込み状態に近く深い形状となる。一方、右スイングでは掘り残し土砂は、そのまま掘り跡に堆積するため浅い形状となる。

6.3 潜りの発生量と運転条件

(1) 潜りの発生量

A, B点での潜りの平均潜度を $\bar{S}(z)$ とし、潮流を $V(z)$ とすると1スイング当たりの潜りの発生量 W は、(6.4)式で与えられる。

$$W = B T \int_0^{h_0} V(z) \bar{S}(z) dz \quad (6.4)$$

ここに、 B : 浚渫幅(m), h_0 : 水深(m), T : 潜りの発生時間(sec)である。

潜りの経時変化は、両点とも最下層のみで測定しているため平均潜度 \bar{S} の鉛直分布を想定しなければならない。

一つには、各スイングごとの採水によって求めたA, B各点のSSの鉛直分布をそのまま用いる方法が考えられる。また、A, B点のSS鉛直分布が、片対数分布で近似できることからA1, B1のSS値を含む片対数分布で平均潜度 \bar{S} の鉛直分布を与える方法がある。ここでは、両者の方法を併用した。おもに、採水によるA, B点の鉛直分布を \bar{S} の分布と仮定し、明らかに特異なデータについては、片対数分布によって修正した。すなわち、

$$\bar{S}(z) = \alpha \bar{S}(z_1) \quad (6.5)$$

となる。ここに、 z_1 : 最下層採水点の水深, $\alpha = S_z/S_{z1}$ である。

さらに、流速分布を放物線近似とすれば(6.4)式は(6.6)式で表される。

$$W = B \cdot T \sum_{i=1}^M \left(1 - \delta \left(\frac{z_i}{h_0} \right)^2 \right) V(h_0) \bar{S}(z_i) \Delta z_i$$

(6.6)

$$\Delta z_i = (z_{i+1} - z_{i-1})/2$$

ただし、 M は鉛直方向分割数で、 $z_0 = -z_1$, $z_{M+1} = 2h_0 - z_M$ とする。

カッタが取扱う土量が多ければ、(6.6)式で与えられる潜りの発生量も多くなるのは当然であり、発生量の総量だけで潜りの状態を論ずるのは問題である。潜りの発生量を取扱う一つの方法に、浚渫土量単位体積当たりの潜りの発生量を用いることがある。これは、(6.7)式で与えられる。

$$W_s = \frac{V_s W}{B Q_m X_a} \quad (6.7)$$

ここに、 W_s : 単位浚渫土量当たりの潜りの発生量
(g/l)

Q_m : 浚渫ポンプ流量 (l/min)

X_a : 見掛けの管内含泥率

(2) 潜りの発生量と運転条件

MULTIスイングの浚渫は、SINGLEスイングの場合と異なり左右スイングによる潜りの合計値として発生量が得られるので、その取扱いに注意を要する。

SINGLEスイングの潜りが左スイングによる潜りの発生量を表すことからMULTIスイングの右スイングによる潜りの発生量を推定することができるが、その際にSINGLEスイング時の発生量の測定が安定して、その運転条件下での発生量として現れること、そして各測定点で確実に潜りを捕えることが必要条件となっている。

この条件を満たしていないければ、推定した右スイング時の発生量がばらつきの大きな値となる。本報告では、以上の点を考慮して、MULTIスイングに発生した潜りの総量をスイング数で割った値を左右スイングの潜りと区別せずMULTIスイング時の潜りの発生量とした。

図-6.11に発生量とスイング速度 V_s の関係を、図-6.12に発生量とカッタ周速度 V_c の関係を示す。

V_s が小さい領域では減少傾向が見られ、大きな領域では増加傾向が見られる。だが概して、 V_s の影響は小さく、ほぼ一定状態と見なすことができよう。

一方、 V_c の潜りの発生量に与える影響は大きく、左右のスイングのいかんを問わず、増加傾向にあった。

潜りの発生に寄与するものは、掘削の強さや浚渫時間そして浚渫の負荷状態である。掘削の強さは、単位時間当たりの掘削回数 ($ZV_c/\pi D$) であり、カッタ周速度が

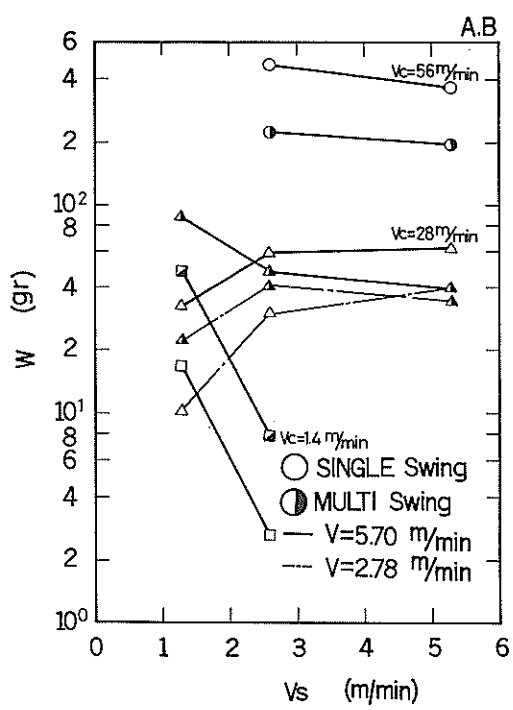


図-6.1 1(a) 発生量とスイング速度の関係(A, B 点)

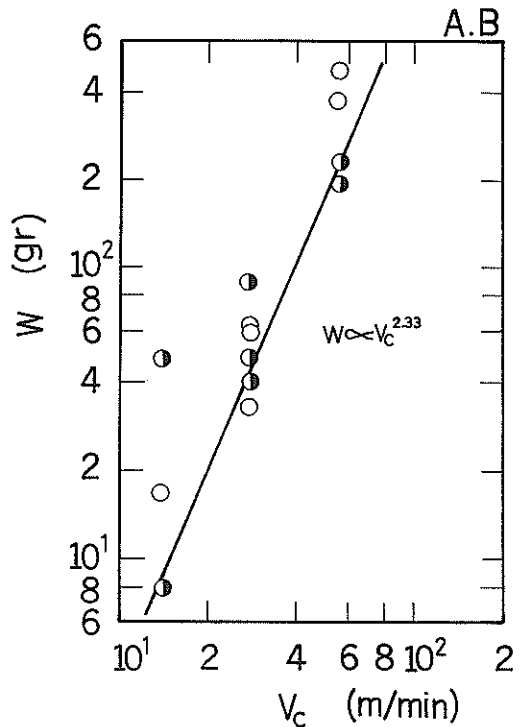


図-6.1 2(a) 発生量とカッタ周速度の関係(A, B 点)

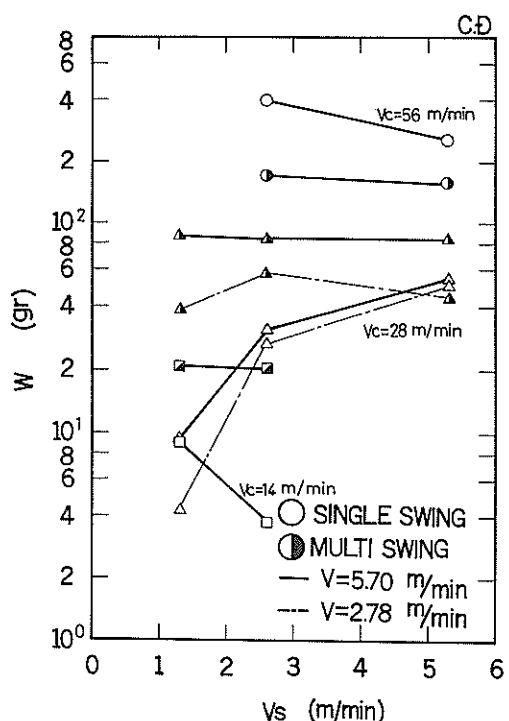


図-6.1 1(b) 発生量とスイング速度の関係(C, D 点)

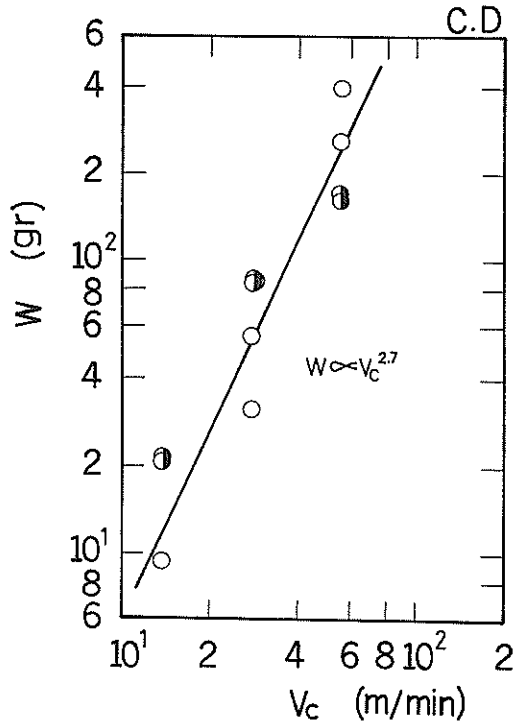


図-6.1 2(b) 発生量とカッタ周速度の関係(C, D 点)

大きければ当然発生量も多くなる。

浚渫時間や負荷状態に関する運転条件は、スイング速度と浚渫土厚である。土厚による渦りの発生に与える影響は6.4で述べるので、ここではスイング速度について検討してみる。

同じ掘削強さの浚渫では、浚渫時間が長ければそれだけ渦りの発生量は多くなる。ポンプ浚渫では一定幅浚渫が原則であるから浚渫時間は、 V_s に反比例する。したがって、 V_s が大きいほど発生量は減少する。しかし、浚渫の負荷状態を考えると逆の傾向になる。カッタが切り崩す土量は、能力パラメータ $t'V_s$ に比例するが、実際の揚土量もしくは含泥率 X_s は、スイング速度が大きい状況で、運転パラメータとの比例関係が徐々に崩れて山成りの曲線となる。このように、スイング速度が大きくなると、浚渫負荷が大きくなり残土率が増加する。そして渦りの発生量が増すと考えられる。すなわち、渦りの発生量に及ぼすスイング速度の影響は、浚渫時間による効果と負荷状態による効果との2つの作用である。発生量に対して前者は減少傾向、後者は増加傾向にある。その概要を図-6.13に示す。総じて両者は相殺する形となり、 V_s

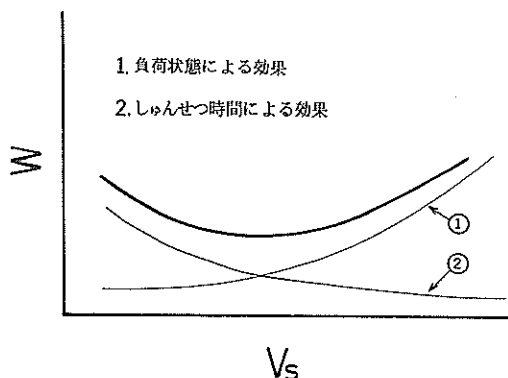


図-6.13 発生量に及ぼす V_s の影響

による渦りの発生量の変化は小さいと見なすことができよう。

以上、カッタと土面の接触を中心に、渦りの発生量に与える運転条件の影響について述べた。ここでは、さらに前記のカッタ回りの渦りと同様にカッタに付着した土砂について考え、カッタの対水速度の影響について調べてみる。

図-6.14に渦りの発生量と対水速度 $|V_c - V_s|$ の関係を示す。 $|V_c - V_s|$ が小さい範囲で多少ばらつくけれども直線関係が認められ、漸増傾向にある。前報の結果から図-6.14の初期値および直線の傾きは、潮流、

浚渫土厚の影響を受けて変化することが予想されたが、潮流の影響はさほど大きくなかった。

渦りの発生に関して潮流とポンプの吸込速度は背反する作用があり、浚渫ポンプの吸込速度が潮流より大きく卓越していれば、潮流の変化による渦りの発生状況の変化は少ないと考えられる。

(3) 単位浚渫土量当たりの渦りの発生量と運転条件

渦りの発生量については、前記のごとくスイング速度やカッタ周速度等の運転条件や潮流およびカッタ周辺の水の流れそして供試土砂の粒径や粒子間の結合状態など多くの要因が影響して複雑な現象を呈し、力学的解析は困難をきわめる。

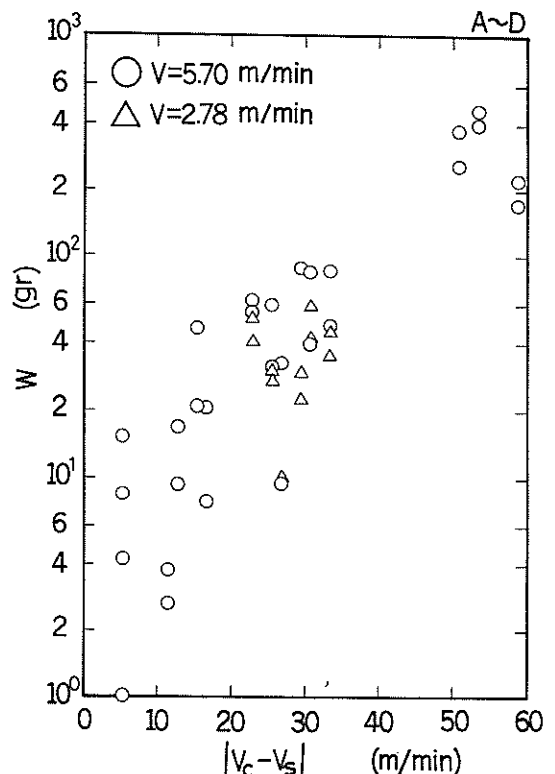


図-6.14 発生量と対水速度の関係

ここでは、渦りの発生に関して次元解析を行い渦りの発生量と運転条件の関係について検討してみる。

供試土砂の粒径の大小は、直接に渦りの発生量に影響を及ぼすが、本実験の主目的は運転条件の渦り発生に与える効果の把握であるため次元解析は、同一の供試土砂について行い、粒径を渦り発生の影響要素からはずすこととする。

渦りの発生量に関する物理量は、次のように考えられる。なお、単位はMKS絶対単位系を用いるものとする。

渦りの発生量:	W_s	[kg/s]
ポンプ流量:	Q_m	[m³/s]
スイング速度:	V_s	[m/s]
カッタ周速度:	V_c	[m/s]
潮流:	V	[m/s]
供試土砂の密度:	ρ_a	[kg/m³]
カッタと土面の接触長さ:	l_s	[m]
重力加速度:	g	[m/s²]
ベッドのせん断強度:	τ	[kg/ms²]

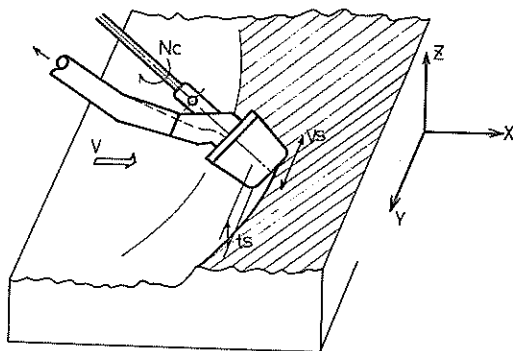


図-6.15 潜渫の状況

渦りの発生量 W_s をこれらの物理量の積で関係づけ式で表す。

$$W_s = c V_s^\alpha V_c^\beta V^r Q_m^\delta \rho_a^\epsilon l_s^\zeta g^\eta \tau^\theta \quad (6.8)$$

基本単位量は、長さ、力、時間の3個であるが、ベクトルの概念を次元解析に導入する。

長さについては、 L_x 、 L_y 、 L_z の3方向に分割し、力については、質量力 K_m と慣性力 K_t の2種類に分割して取扱うこととする^{2,3)}。したがって、前記の物理量の次元は、次のようになる。

$$\begin{aligned} [W_s] &= [\text{kg/s}] = [M_m T^{-1}] \\ [Q_m] &= [\text{m}^3/\text{s}] = [L_x L_y L_z T^{-1}] \\ [V_s] &= [\text{m/s}] = [L_z T^{-1}] \\ [V_c] &= [\text{m/s}] = [L_y^{1/2} L_x^{1/2} T^{-1}] \\ [V] &= [\text{m/s}] = [L_z T^{-1}] \quad (6.9) \\ [\rho_a] &= [\text{kg/m}^3] = [M_m L_x^{-1} L_y^{-1} L_z^{-1}] \\ [l_s] &= [\text{m}] = [L_z] \end{aligned}$$

$$\begin{aligned} [g] &= [\text{m/s}^2] = [L_z T^{-2}] \\ [\tau] &= [\text{kg/ms}^2] = [M_m L_x^{-1/2} L_y^{-1/2} L_z^{-1/2} T^{-2}] \end{aligned}$$

(6.9)式を(6.8)式に代入して、各基本単位量ごとに整理し、連立一次方程式を解き、再び(6.8)式に代入して整理すると、(6.10)式が得られる。

$$W_s = C Q_m \rho_a \phi^\beta F_r^{(\beta/2+r)} \left(\frac{V}{V_p} \right)^r \left(\frac{l_s}{D} \right)^{2r} \quad (6.10)$$

ここに、 ρ_a :供試土砂の単位体積質量

ϕ :パラメータ

F_r :フルード数

V_p :ポンプ吸込流速

ϕ はカッタの軌跡の相似に関する無次元数であり、

V/V_p は渦りの移送に関する、そして l_s/D はカッタと土面との接触面の大きさに関する無次元数である。また、フルード数の代表速度、代表長さにはそれぞれ V_s 、 l_s をとっている。

ここで、管内含泥率を X_a とすると、単位潜渫土量当たりの渦りの発生量 W_0 は、(6.11)式で表される。

$$W_0 = C' \frac{1}{X_a} \phi^\beta F_r^{(\beta/2+r)} \left(\frac{V}{V_p} \right)^r \left(\frac{l_s}{D} \right)^{2r} \quad (6.11)$$

渦りの発生量 W を、単位時間当たりの発生量 W_s に潜渫時間をかけたものとすると(6.10)式より発生量 W に与えるスイング速度の影響は、 $V_s(r-\beta/2-1)$ となる。

一方、図-6.11の W と V_s の関係から V_s による影響を無視すると係数 β と r の関係は次式で与えられる。

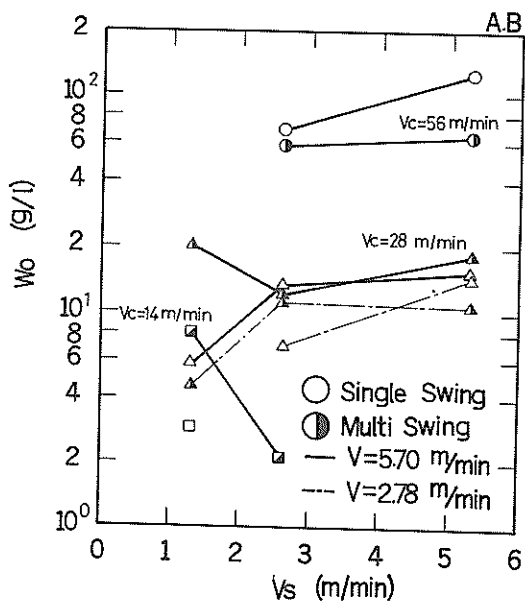


図-6.16(a) $W_0 - V_s$ の関係 (A, B点)

$$\gamma = \frac{\beta}{2} + 1 \quad (6.12)$$

図-6.16に W_0 と V_s の関係を示す。 V_s が小さい領域では V_c の値によって傾向が異なり不安定であるが、大きい領域では一定状態もしくは微増傾向にある。図-6.17に W_0 と V_c の関係を示す。図中の直線は、最小自乗法で求めた式である。図-6.17と(6.12)式から β , γ を求めると、

$$\beta = 2.12, \gamma = 2.06 \quad (6.13)$$

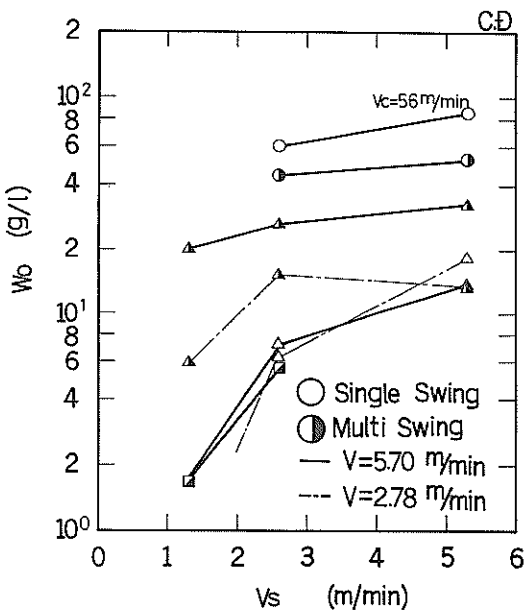


図-6.16(b) $W_0 - V_s$ の関係 (C, D 点)

となる。(6.11)を書き直すと、

$$W_0 = \frac{C'}{X_a} \cdot \frac{V_s}{\sqrt{l_s g}} \left(\frac{V_c}{\sqrt{l_s g}} \right)^{2.12} \left(\frac{V}{V_p} \right)^{2.06} \left(\frac{l_s}{D} \right)^{4.12} \quad (6.11')$$

となる。係数 γ の値は、(6.12)式とは別に潮流の影響からも求められる。図-6.18に W_0 と V_c の関係を示す。 V_s が、2.6 m/minより小さい場合に係数は安定し、 $\gamma = 1.51 \sim 2.14$ であった。これは、(6.13)の値を満たしている。

今回の実験において、土厚が1/3直径、基準潮流 $V_p = 5.7 \text{ m/min}$ とした場合の W_0 は、

$$W_0 = 0.01 V_c^{2.12} \left(\frac{V}{V_p} \right)^{2.06} \quad (6.14)$$

で表される。

結局、渦の発生に影響を与える運転条件は、土厚の変化に伴う土面との接触面の長さが重要であり、次にカッタ周速度と潮流となる。スイング速度の影響は、含泥

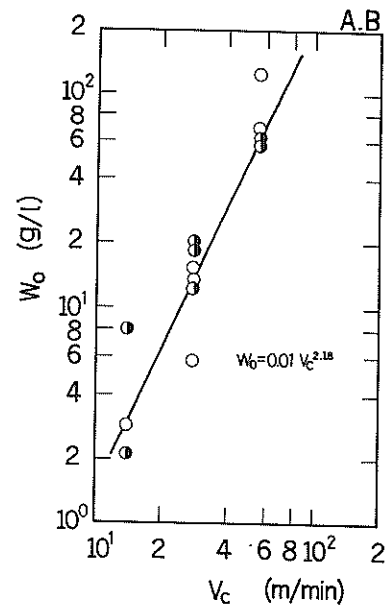


図-6.17(a) $W_0 - V_c$ の関係 (A, B 点)

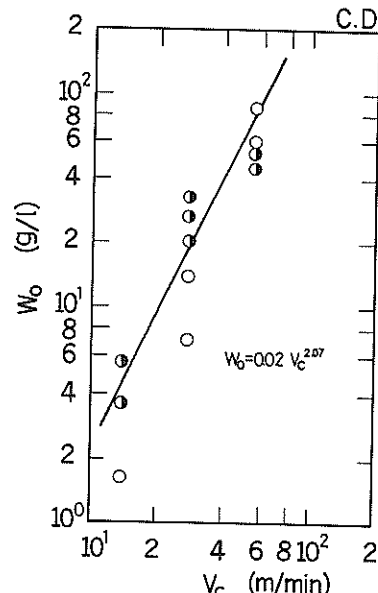


図-6.17(b) $W_0 - V_c$ の関係 (C, D 点)

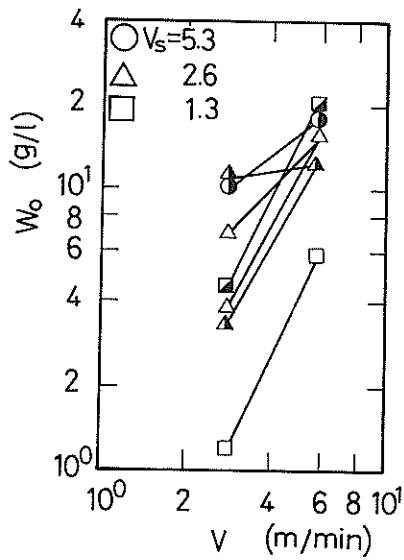


図-6.18 $W_o - V$ の関係

率との比例関係が成立する範囲内であまり表れないと考えられる。

(4) 残土率と W_o

残土率は、取扱い土量（カッタによる排土量）のうち浚渫されずに水底および渦りとして取り残される土量の割合であり、渦りの発生量に影響を及ぼす。

図-6.19に残土率 R と X_c の関係を示す。 X_c はスイン

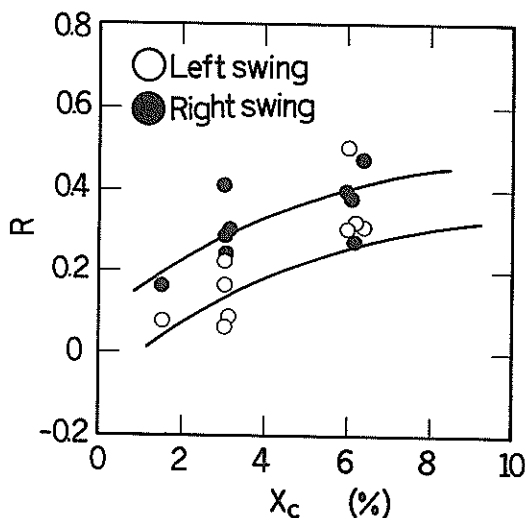


図-6.19 残土率と X_c の関係

グ速度に比例することから横軸をスイング速度と見ることができる。残土率は、右スイング時により大きな値をとり、スイング速度の増加によって増大する。図-6.21との関連で右スイング時に渦りの発生量が大きいことがうかがえる。

渦りの発生に大きな影響を及ぼしたカッタ周速度は、管内含泥率 X_e に与える影響は少なかった。供試土砂が軟らかいため切り崩しの効果は、わずかの回転数で満たされ、過度に回転数を上げても含泥率の上昇に効果的でなく、逆にマイナスであると考えられる。このことからカッタ周速度は、残土率に与える影響は小さく、 V_c による残土率は、ほぼ一定値をとる。この状況を図-6.20に示している。

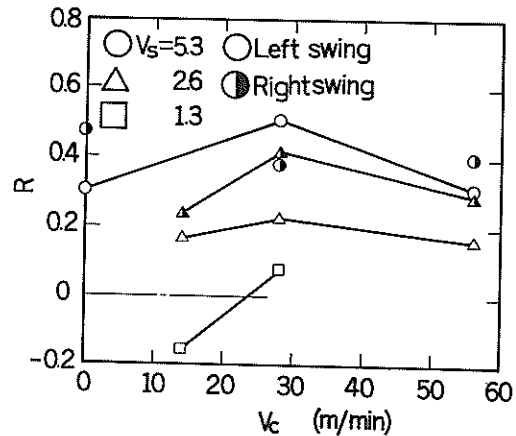


図-6.20 残土率に与える V_c の効果

図-6.21は、残土率と単位浚渫土量当たりの渦り発生量 W_o の関係を示している。左右のスイングを問わず、残土率が大きくなるにつれて W_o は、増加する傾向にある。

また、両者の関係においてかなりのばらつきが見られるが、これは、渦りの発生については V_c の影響を主に受けるにも係らず、残土率は V_c の影響を主に受けることによる。

(5) 土厚による渦りの発生量の変化

土厚が変化することによって、取扱い土量が変わりポンプに対して負荷状態が変わる。その結果、渦りの発生量に変化をもたらす。今回、土厚をカッタ直径の $1/3$ 、 $1/2$ 、 $2/3$ 厚さとして渦りの発生量に与える効果を見た。

図-6.22に残土率 R と土厚の関係を示す。残土率は左右スイングとも土厚に対して増加傾向にあり、そして

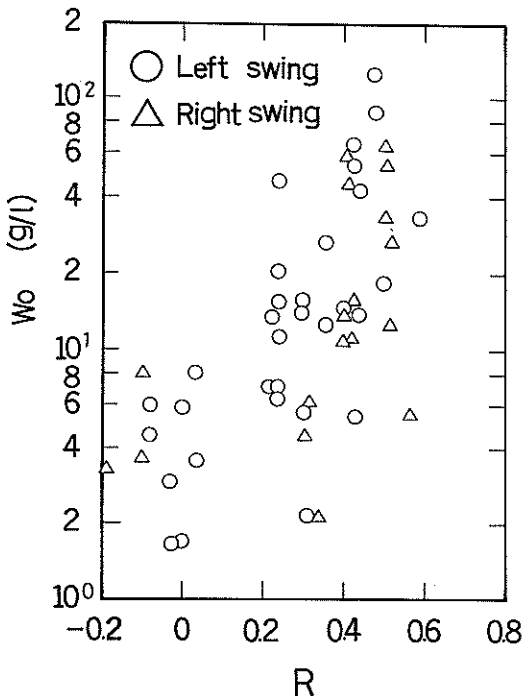


図-6.21 残土率と W_o の関係

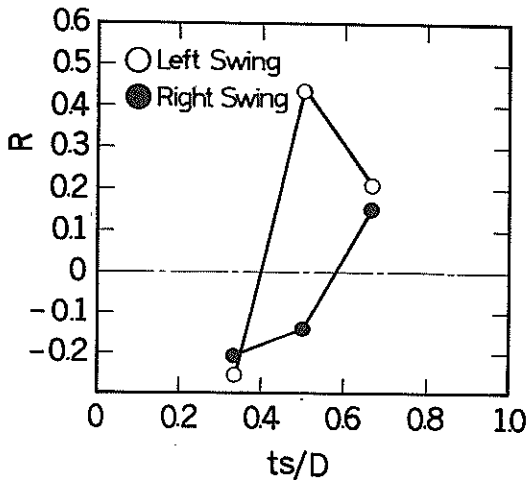


図-6.22 土厚と残土率の関係

土厚が小さい場合には負の値をとっている。土厚を大きくすることは、取扱い土量を増加させるものであり、図-6.19 から残土率の増大を意味する。

図-6.23 に土厚による発生量の変化を示す。左スイングではわずかながら増加傾向が、右スイングでは減少

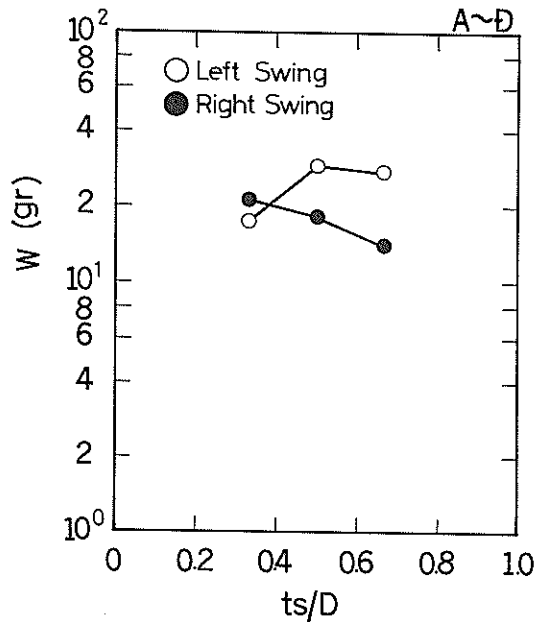


図-6.23 土厚と発生量の関係

傾向が見られる。

渦りの要因は、掘削開始時のカッタおよびその付着土砂と土面の接触であり、特に、右スイング時には供試ペッドの水平面で接触するためその影響は大きい。土厚をかけた状態を図-6.24 に示す。カッタが土面より上で水と接する表面は斜線部分である。斜線部分が、カッタ

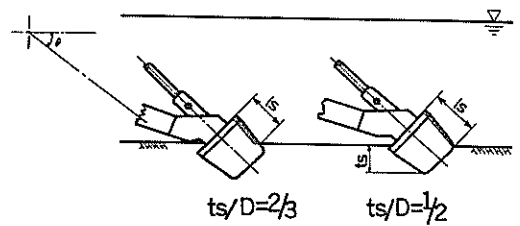


図-6.24 負荷状態と t_s

の回転によって土面との接触を引き起こすことから、その表面積 A_s の大小が直接渦りの大小に結びつくと考えられる。図-6.25 に土厚と接触面の長さ t_s の関係を示す。

t_s は $A_s/\pi D$ である。θ はラダーの附角であって水深によって変化する。今回の実験の附角は約 30 度であった。 t_s は土厚が $1/3$ で最大値をとり、以下漸次減少し

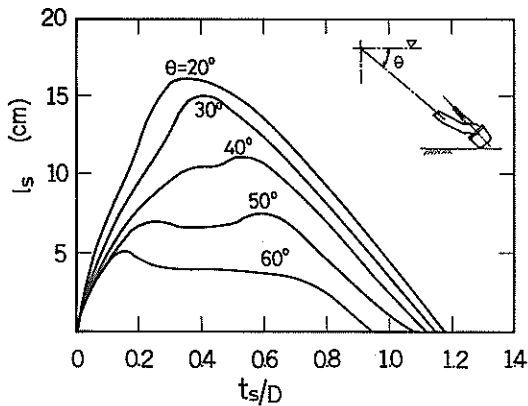


図-6.25 土厚と l_s の関係

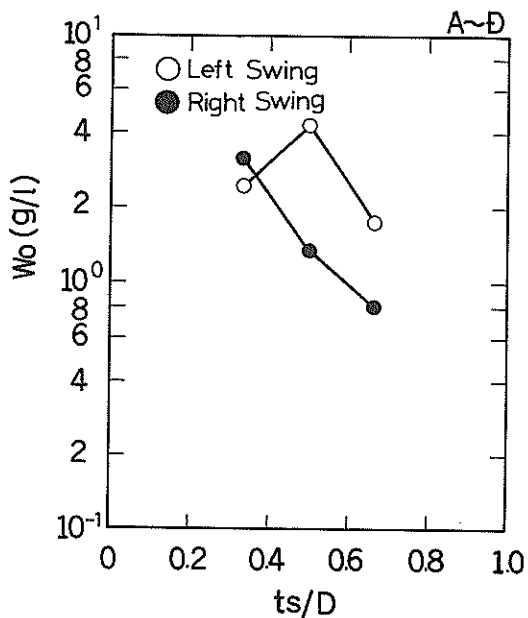


図-6.27 W_0 と土厚の関係

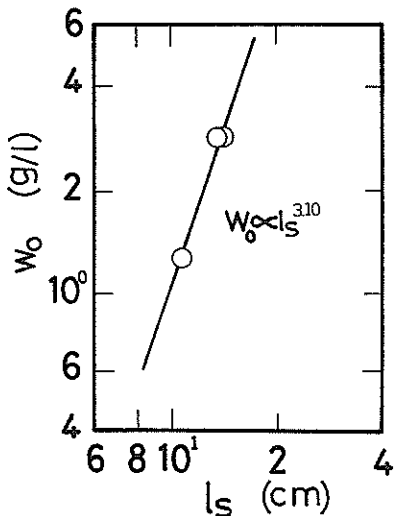


図-6.26 W_0 と l_s の関係

ている。この傾向は、渦りの発生量の右スイングの時の変化と一致している。

図-6.26に接触面の長さ l_s と W_0 の関係を示す。データ数が少ないが W_0 は l_s に比例している。(6.11)式の関係から γ の値を求めるとき 2.43 となり、先の方法で求めた値とほぼ一致した。

図-6.27に土厚と W_0 の関係を示す。実験の土厚 t_s/D は、 $1/3 \sim 2/3$ の範囲で軽負荷状態と言える。実験中の含泥率の最高 10 数 % と通常の値より小さいことからもうかがえる。以上のとおり、土厚が $1/2$ 以下と小さい浚渫では、渦りの発生量が多いことがわかる。

6.4 実機での渦りの発生量の試算

単位浚渫土量当たりの渦りの発生量 W_0 は、(6.11) 式もしくは(6.14)式で表された。これらの関係式を用いて実機での渦りの発生状況について検討してみる。

添字は実機を R 、模型を M とし、 r を縮尺を意味するものとすれば、単位浚渫土量当たりの渦りの縮尺 W_{0r} は、(6.11)式より(6.15)式で表される。

$$W_{0r} = \phi_r^\beta (F_r)_r^{(\beta/2 + \gamma)} \left(\frac{V_r}{V_{pr}} \right)^\gamma \left(\frac{l_{sr}}{D_r} \right)^{2\gamma} \quad (6.15)$$

ここでは、実機と模型との管内含泥率 X_a が等しいと仮定している。これらの無次元数の縮尺は、模型の設定条件から次式で与えられる。

$$\begin{aligned} \phi_r &= 1 \\ (V/V_p)_r &= 1 \\ (l_s/D)_r &= 1 \\ (F_r)_r &= D_r^{-1/2} \end{aligned} \quad (6.16)$$

したがって、(6.15)式は、

$$W_{0r} = D_r^{-\gamma/2} (\beta/2 + \gamma) \quad (6.15)'$$

となる。ここでの β , γ は(6.13)式の値を用いることにする。実機の渦りのデータとの比較において運転条件の細かいデータがないので平均的な運転条件を設定して発生量の値を求めるところにする。

実際の浚渫の土厚はカッタ直径の1/2~2/3土厚程度であり、本実験の1/3土厚より大きいのが普通である。

ここでは、1/3から2/3土厚について検討する。また、スイング速度は含泥率と比例する範囲内とする。

以下、実機の運転条件の設定値は、

$$V_s = 6 \sim 10 \text{ m/min}$$

$$V_c = 113 \text{ m/min} (D = 1.8 \text{ m}, N_c = 20 \text{ rpm})$$

$$V = 5.7 \text{ m/min}$$

$$t_s/D = 1/3, 1/2, 2/3$$

$$\theta = 30^\circ \quad (\text{ラダー長 } 30 \text{ m}, \text{ 水深約 } 15 \text{ m})$$

とする。(6.14)式の値は、 $t_s/D = 1/3$ の値であるため、(6.11)'式によって修正しなければならない。その結果を表-6.1に示す。 $t_s/D = 1/2$ の通常の運転での渦りは現地のデータ範囲内にある。図-6.28に経験的な現地データの渦りの発生量を示す。横軸は、渦りの発生に関する因子として対象土砂の粘土含有量をとっている。

表-6.1 実機の渦り発生量 W_o の試算

	t_s (cm)	W_{oM} (kg/t)	W_{oP}	W_{oR} (t/m ³)	W_{oR}^* (t/m ³)
1/3 土厚	14.1	225.2×10^3	$D_p^{(\beta/4+\gamma)}$	6.26×10^{-3}	
1/2 土厚	139	217.1×10^3	$= 1/36$	60.3×10^{-3}	$54.3 \sim 452 \times 10^{-3}$
2/3 土厚	108	113.7×10^3		3.16×10^{-3}	

(*) 現地データのうち対象土砂が粘土およびシルト質粘土のものについて

7. 結論

ポンプ浚渫船の1/10模型を用いて渦りの模型実験を行った。供試土砂には、ペントナイトとフライアッシュから成る模擬汚泥を用い、渦りの発生量はSS量を用いて評価した。その結果、以下の点が明らかになった。

(1) 渦りの発生は、右スイング時に大きく、カッタ側面での渦りはスイング方向に関係なく右側面で大きい。

そして、渦り発生の主因はカッタやそれに付着する土砂と新たな土面の接触である。

(2) 管内含泥率に与えるカッタ周速度の影響は、浚渫土砂が軟泥であるために弱い。また、管内含泥率は土厚とスイング速度の積である能力パラメータに比例するが、パラメータを大きくとり過ぎると比例関係が崩れて掘り残しが多くなる。

(3) 掘り残しを意味する残土率は、スイング速度の増

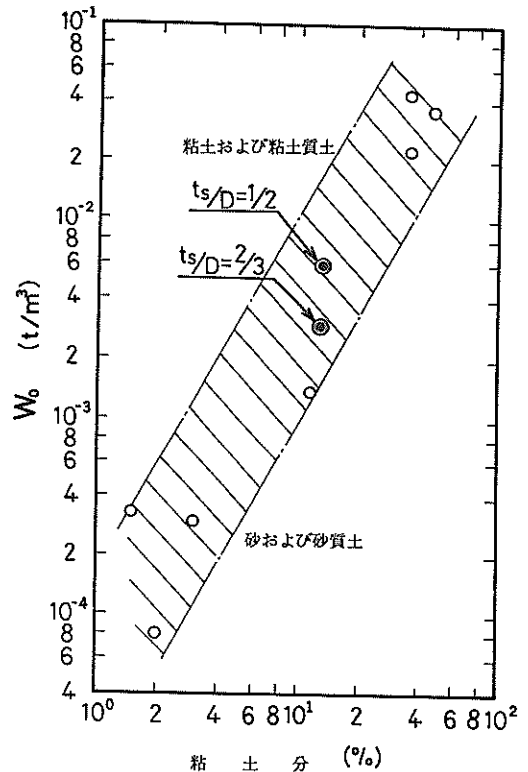


図-6.28 W_o と粒度組成の関係

加によって増大するが、カッタ周速度の影響はほとんど受けなかった。また、残土率はスイング方向によって異なり右スイングの場合に大きい。

(4) 残土率が大きくなるにつれて、渦りの発生量は増大する。

(5) 渦りの発生量は、土面と接触するカッタの表面積に比例すると考えられる。浚渫土厚によってその表面積は変化し、 t_s/D が1/3~1/2程度で最大値をとり、それ以上の土厚では減少傾向にある。

(6) 渦りの発生量に及ぼすスイング速度の影響は、浚渫時間による減少効果と負荷状態による増大効果が相殺されて全般的に小さい。

(7) 次元解析によって、渦りの発生量に及ぼす運転条件の影響は、次の関係で表された。

$$W_o = C' \frac{1}{X_a} \phi^\beta F_r^{(\beta/4+\gamma)} \left(\frac{V}{V_p} \right)^{\gamma} \left(\frac{l_s}{D} \right)^{2\gamma}$$

ここで、指数の β , γ は実験によって、それぞれ2.12, 2.06であった。渦りの発生に及ぼす運転条件は、土面とカッタの接触面の長さ l_s が最も影響が大きく、次いで

カッタ周速度、潮流となり、スイング速度の影響は小さい。

(8) (7)の関係式を用いて実機での渦りの発生量を換算する式を導いた。それによって試算した実機での渦りの発生量は、現地データと一致した。

8. あとがき

渦りの発生量を運転条件を含む無次元数で関連づけることができた。しかし含泥率の相似なわちポンプ吸込力の相似および浚渫土砂の相似について検討が不十分である。これらの点について前報¹⁾の模型(I), 模型(II)についても今後検討したい。またポンプ浚渫による渦りの発生機構がほぼ把握できたことから、現地適応性の良い汚濁防止アタッチメントなどの開発を進めるとともに、渦りの発生量を予測するためのより良い手法を検討したい。

(1982年3月31日受付)

参考文献

- 1) 白鳥保夫, ほか3名; ポンプ浚渫船のカッタによる模型実験, 港湾技研資料, No. 390, Sept. 1981
- 2) 浜田賢二, ほか3名; へどろしゅんせつにおける模型前面開口型吸込ヘッドの形状効果, No. 302, Sept. 1978
- 3) 技山大三; 次元解析法の理論と応用, 共立出版, 1960

G_a	: 模擬汚泥の見掛け比重	
G_s	: 模擬汚泥の真比重	
g	: 重力加速度	(m/s ²)
h_o	: 水深	(m)
K	: トロコイド曲線を構成する直径比	
l_o	: I スパッド前進距離	(m)
l_s	: カッタと土面の接触長さ	(m)
N	: カッタ刃の掘削数	
Q_m	: ポンプ流量	(l/min)
R	: 残土率	
S_e	: カッタ周辺のSS平均値	(mg/l)
S_d	: 浚渫含泥水の平均懸濁物質量	(mg/l)
t_s	: 浚渫土厚	(m)
V	: 潮流	(m/min)
V_c	: カッタ周速度	(m/min)
V_p	: ポンプ吸込速度	(m/min)
V_s	: スイング速度	(m/min)
W	: 1スイング当たりの渦り発生量	(g)
W_0	: 単位浚渫土量当たりの渦りの発生量	(kg/l)
X_o	: 見掛けの平均含泥率	(%)
X_c	: 管内の換算含泥率	(%)
X_b	: 真容含泥率	(%)
Z	: カッタ刃数	
r_a	: 汚泥の湿润状態における単位体積重量	(g/cm ³)
ϕ	: 掘削状態の相似に関する無次元数	
w	: 含水比	(%)
	添字	
M	: 模型を表す	
R	: 実機を表す	
r	: 縮尺を意味する	

主要記号表

B	: スイング幅	(m)
d	: 転がり円直径	(m)
D	: カッタ刃先円直径	(m)
F_r	: フルード数	

付 錄

A. MKS 絶対単位系による次元解析

渦りの発生量 W_s は、物理量によって関係づけられ、次式で表される。

$$W_s = c V_s^\alpha F_r^\beta Q_m^\delta \rho_a^\epsilon l_s^\zeta g^\eta \tau^\theta \quad (\text{A.1})$$

各物理量の次元は、MKS 絶対単位系では、

$$\begin{aligned} [W_s] &= [\text{kg}^* \text{s}] = [M_m T^1] \\ [V_s] &= [\text{m/s}] = [L_x T^{-1}] \\ [V_e] &= [\text{m/s}] = [L_y^{1/2} L_z^{1/2} T^{-1}] \\ [V] &= [\text{m/s}] = [L_x T^{-1}] \quad (\text{A.2}) \\ [Q_m] &= [\text{m}^3/\text{s}] = [L_x L_y L_z T^{-1}] \\ [\rho_a] &= [\text{kg}/\text{m}^3] = [M_m L_x^{-1} L_y^{-1} L_z^{-1}] \\ [g] &= [\text{m/s}^2] = [L_z T^{-2}] \\ [\tau] &= [\text{kg}^*/\text{m s}^2] = [M_i L_x^{1/2} L_y^{1/2} L_z^{-1/2} T^{-2}] \end{aligned}$$

となる。ただし、 kg^* は質量を意味し、 M_m 、 M_i は物質の量としての質量と慣性としての質量を表している。

(A.2) 式を (A.1) 式に代入すると、

$$\begin{aligned} [M_m T^{-1}] &= [L_x^{4+\delta-\epsilon-1/2\theta} L_y^{\alpha+1/2\beta+\delta-\epsilon-1/2\theta} \\ &\quad L_z^{1/2\beta+\delta-\epsilon+\zeta+\eta-1/2\theta} T^{-\alpha-\beta-\gamma-\delta-2\eta-2\theta} \\ &\quad M_m^\epsilon M_i^\theta] \end{aligned}$$

各基本量の指数について連立一次方程式を β 、 γ について解くと、

$$\begin{aligned} \alpha &= \gamma - \frac{\beta}{2} \\ \beta &= \beta \\ \gamma &= \gamma \\ \delta &= 1 - \gamma \quad (\text{A.3}) \\ \epsilon &= 1 \\ \zeta &= \frac{3}{2}\gamma - \frac{\beta}{4} \\ \eta &= -\frac{\gamma}{2} - \frac{\beta}{4} \end{aligned}$$

となる。(A.3) 式を (A.1) 式に代入すると

$$W_s = c Q_m \rho_a \left(\frac{V_e}{V_s^{1/2} L_z^{1/2} g^{1/2}} \right)^\beta \left(\frac{V_s l_s^{3/2} V}{g^{1/2} Q_m} \right)^\gamma \quad (\text{A.4})$$

となる。

ここで、

$$\begin{aligned} \phi &= V_e / V_s \\ F_r &= V_s / (g \cdot l_s)^{1/2} \\ V_p &= 4 Q_m / \pi D^2 \end{aligned}$$

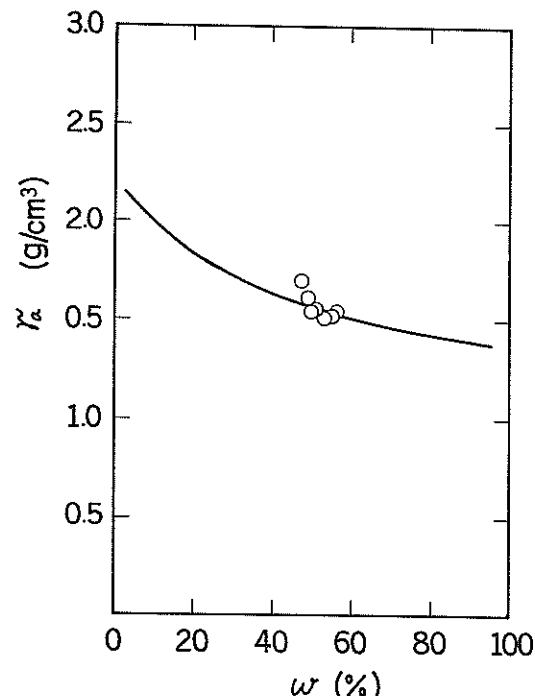
とすると、

$$\begin{aligned} V_e / V_s^{1/2} l_s^{1/4} g^{1/4} &= \phi \cdot F_r^{1/2} \\ V_s l_s^{3/2} V / g^{1/2} Q_m &= \frac{4}{\pi} F_r (l_s/D)^2 \cdot (V/V_p) \end{aligned}$$

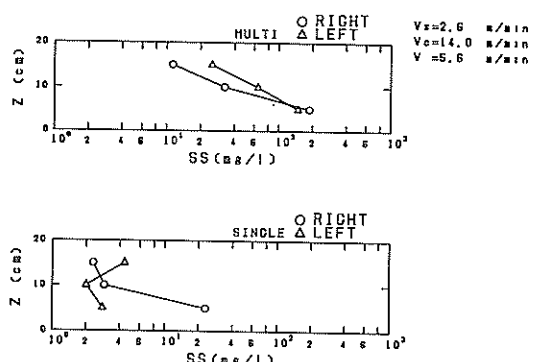
となる。したがって (A.4) 式は

$$W_s = C Q_m \rho_a \phi^{\beta} F_r^{(\beta/2+\gamma)} (V/V_p)^\gamma (l_s/D)^2 \quad (\text{A.5})$$

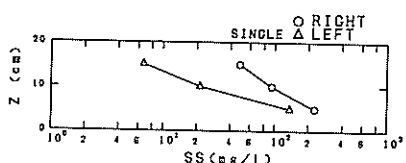
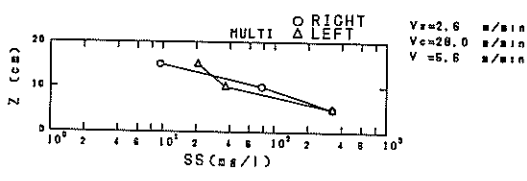
と表される。



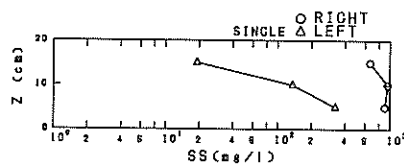
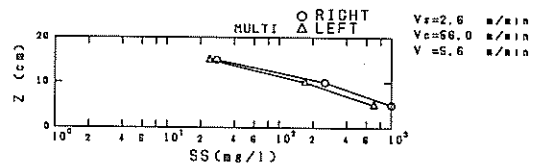
付図-5.1 含水比と単位体積重量



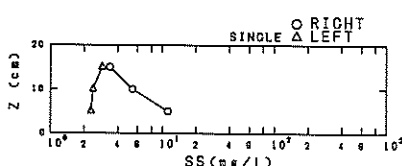
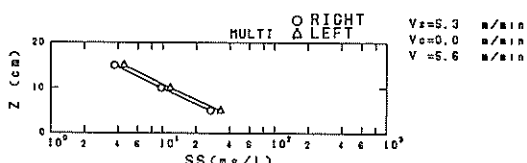
付図-6.1(a) カッタ回りの渦りの鉛直分布



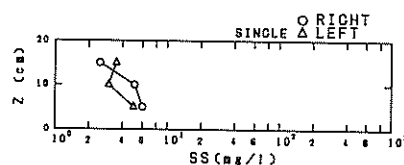
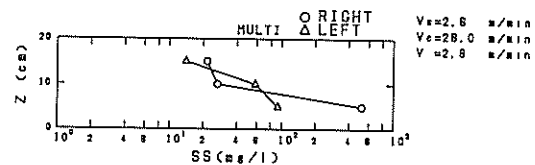
付図-6.1(b) カッタ回りの渦りの鉛直分布



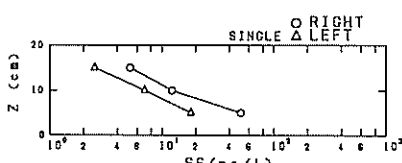
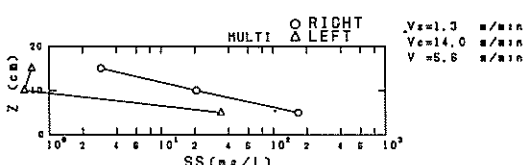
付図-6.1(e) カッタ回りの渦りの鉛直分布



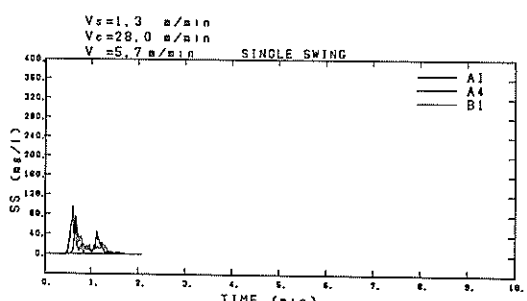
付図-6.1(c) カッタ回りの渦りの鉛直分布



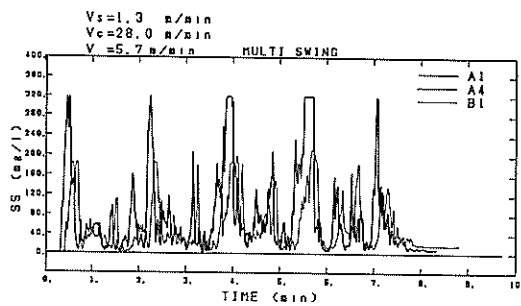
付図-6.1(f) カッタ回りの渦りの鉛直分布



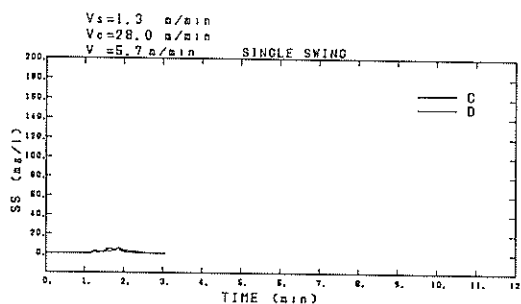
付図-6.1(d) カッタ回りの渦りの鉛直分布



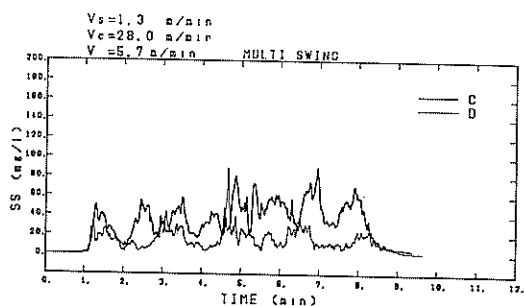
付図-6.2(a) A B点の渦りの経時変化



付図- 6.2 (b) A B 点の渦りの経時変化



付図- 6.3 (a) C D 点の渦りの経時変化



付図- 6.3 (b) C D 点の渦りの経時変化

港湾技研資料 No. 420

1982・6

編集兼発行人 運輸省港湾技術研究所

発行所 運輸省港湾技術研究所
横須賀市長瀬3丁目1番1号

印刷所 株式会社 東京プリント

Published by the Port and Harbour Research Institute
Nagase, Yokosuka, Japan.